

Перспективы экспериментальной
проверки многомировой
интерпретации квантовой механики

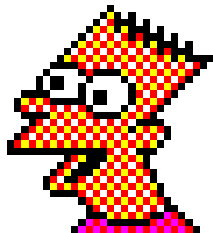
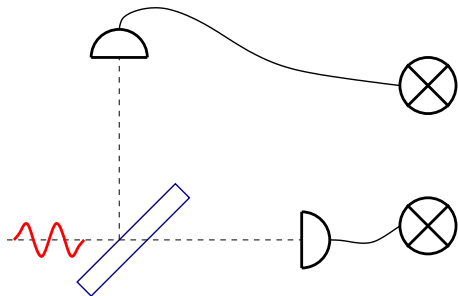
Ф.Я.Халили

20 мая 2009г.

- 1 Краткое введение в многомировую интерпретацию
- 2 Как насчет экспериментальной проверки?
- 3 Приготовление негауссовского квантового состояния

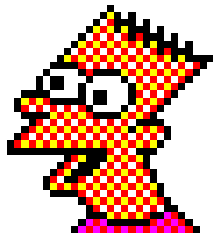
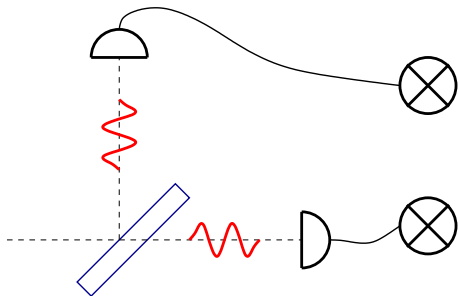
- 1 Краткое введение в многомировую интерпретацию
- 2 Как насчет экспериментальной проверки?
- 3 Приготовление негауссовского квантового состояния

Копенгагенская интерпретация



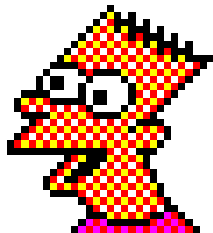
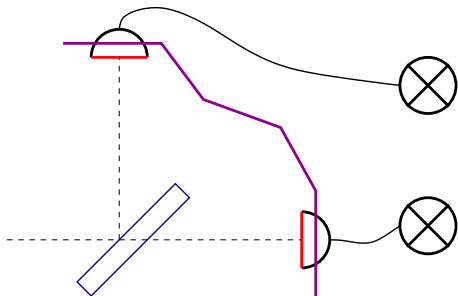
$$|\text{in}\rangle_{\hbar\omega} |\text{in}\rangle_{\text{detector}}$$

Копенгагенская интерпретация



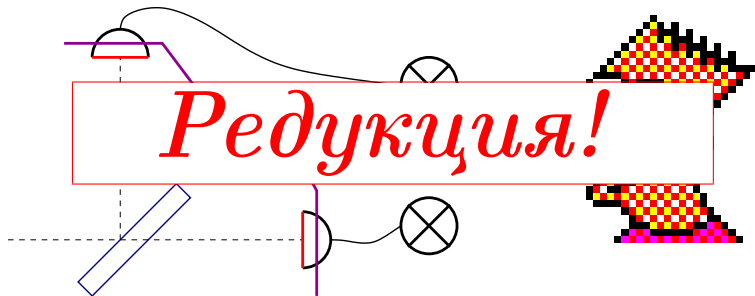
$$\frac{|\uparrow\rangle_{\hbar\omega} + |\downarrow\rangle_{\hbar\omega}}{\sqrt{2}} |\text{in}\rangle_{\text{detector}}$$

Копенгагенская интерпретация



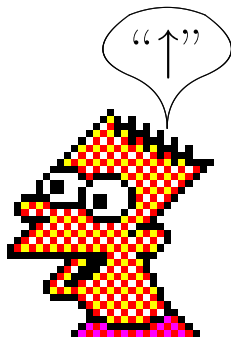
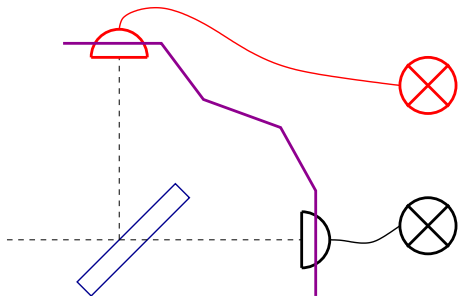
$$\frac{|\uparrow\rangle_{\hbar\omega} |\uparrow\rangle_{\text{detector}} + |\downarrow\rangle_{\hbar\omega} |\downarrow\rangle_{\text{detector}}}{\sqrt{2}}$$

Копенгагенская интерпретация



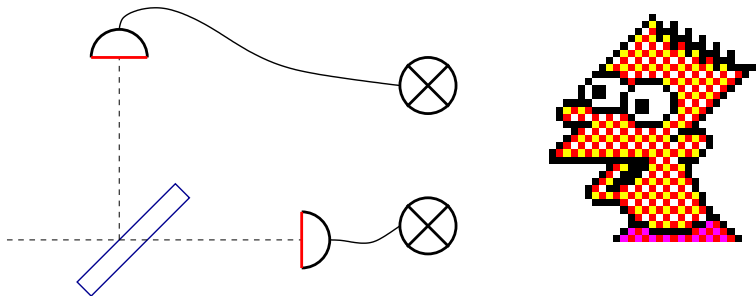
$$\frac{|\uparrow\rangle_{\hbar\omega} |\uparrow\rangle_{\text{detector}} + |\downarrow\rangle_{\hbar\omega} |\downarrow\rangle_{\text{detector}}}{\sqrt{2}}$$

Копенгагенская интерпретация



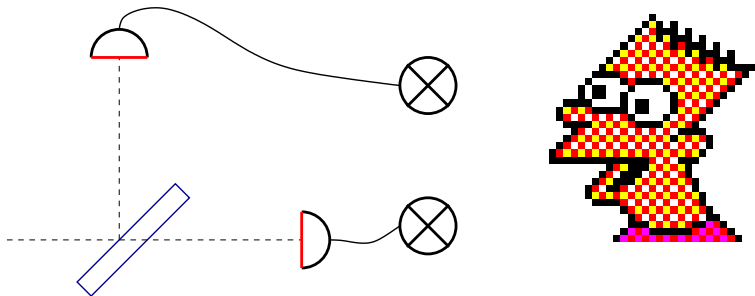
$$|\uparrow\rangle_{\hbar\omega} |\uparrow\rangle_{\text{detector}}$$

Многомировая интерпретация



$$\frac{|\uparrow\rangle_{\hbar\omega} |\uparrow\rangle_{\text{detector}} + |\downarrow\rangle_{\hbar\omega} |\downarrow\rangle_{\text{detector}}}{\sqrt{2}}$$

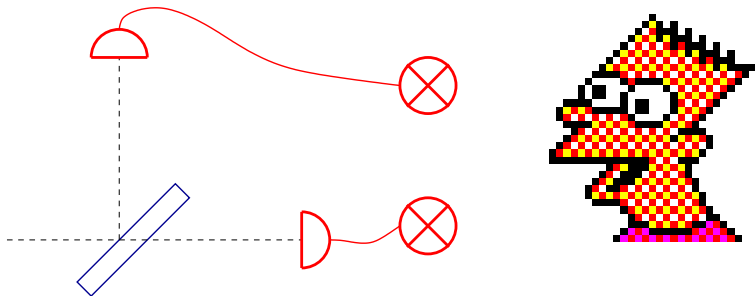
Многомировая интерпретация



$$\frac{|\uparrow\rangle_{\hbar\omega} |\uparrow\rangle_{\text{detector}} + |\downarrow\rangle_{\hbar\omega} |\downarrow\rangle_{\text{detector}}}{\sqrt{2}}$$

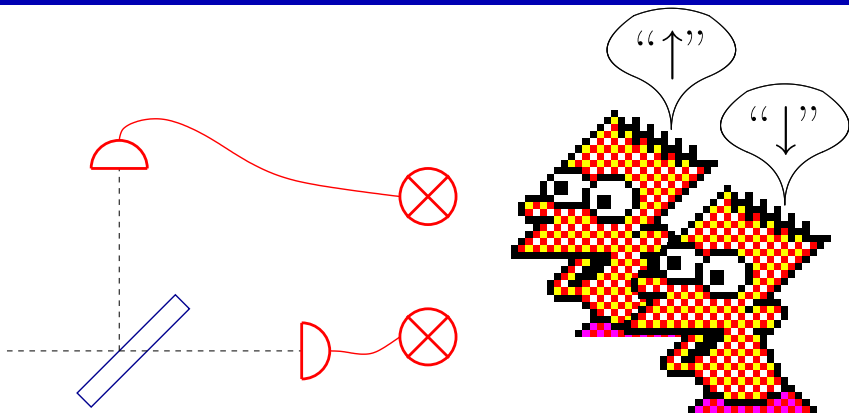
“Обычная” эволюция продолжается...

Многомировая интерпретация



$$\frac{|\uparrow\rangle_{\hbar\omega} |\uparrow\rangle_{\text{detector}} + |\downarrow\rangle_{\hbar\omega} |\downarrow\rangle_{\text{detector}}}{\sqrt{2}} |\text{in}\rangle_{\text{observer}}$$

Многомировая интерпретация



$$\frac{|\uparrow\rangle_{\hbar\omega} |\uparrow\rangle_{\text{detector}} |\uparrow\rangle_{\text{observer}} + |\downarrow\rangle_{\hbar\omega} |\downarrow\rangle_{\text{detector}} |\downarrow\rangle_{\text{observer}}}{\sqrt{2}}$$

$$\rightarrow \frac{|\uparrow\rangle_{\text{UNIVERSE}} + |\downarrow\rangle_{\text{UNIVERSE}}}{\sqrt{2}}$$

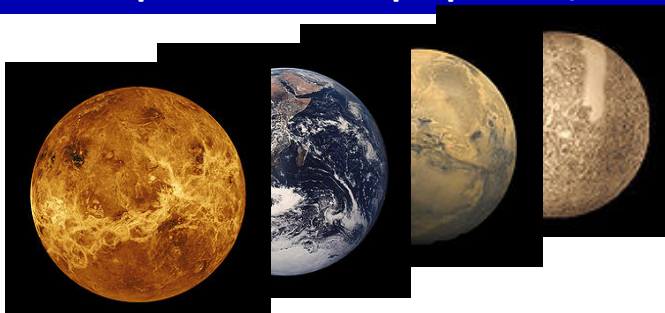
H. Everett, Rev. Mod. Phys. **29**, 454 (1957)

Многомировая интерпретация

- Состояние Вселенной описывается огромной многомерной волновой функцией.
- Редукция происходит лишь в представлении наблюдателя.
- Вселенная полностью детерминирована — все возможные исходы “случайных” событий сосуществуют в параллельных ветвях мировой волновой функции.

L.Vaidman, arXiv:quant-ph/9609006;
plato.stanford.edu/entries/qm-manyworlds/

Многомировая интерпретация



...

$$\dots + |\psi_{n-1}\rangle + |\psi_n\rangle + |\psi_{n+1}\rangle + |\psi_{n+2}\rangle + \dots$$

“Эта точка зрения была впервые открыто выдвинута Хью Эвереттом в 1957 году (однако я подозреваю, что многие ... приватно придерживались подобных взглядов и раньше — как и я сам в середине 50-х — не решаясь открыто высказать их”).

R.Penrose, “The Road to Reality”

- 1 Краткое введение в многомировую интерпретацию
- 2 Как насчет экспериментальной проверки?
- 3 Приготовление негауссовского квантового состояния

Метафизика — проверке не подлежит

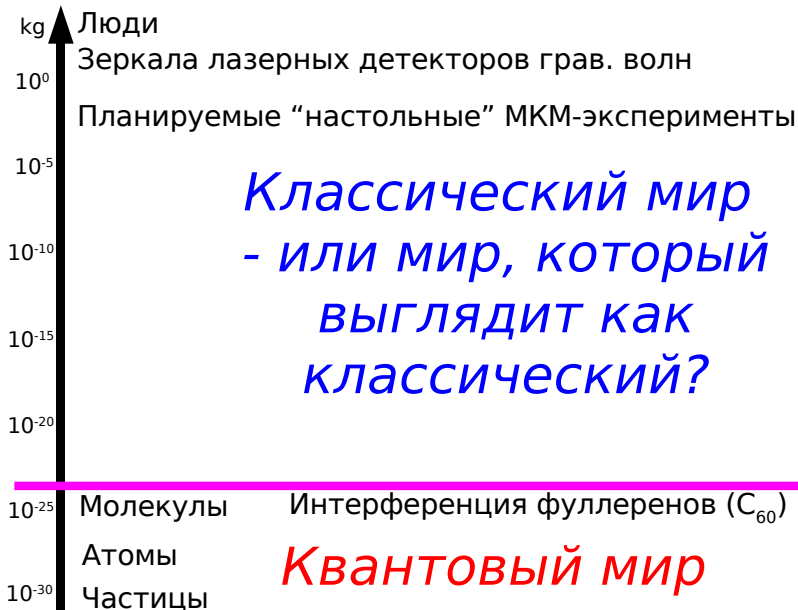
Копенгагенская интерпретация. Редукция — удобное средство описания процесса измерения; где, когда и как именно она происходит, и происходит ли вообще — нас не волнует, так как результаты измерений от этого не зависят.

Нелокальные скрытые переменные. Квантовые неопределенности — это проявление *нелокальных* классических скрытых переменных. Например, наш квантовый мир — это симуляция, выполняемая на очень мощном, но геометрически маленьком классическом компьютере (см. фильм “Матрица”).

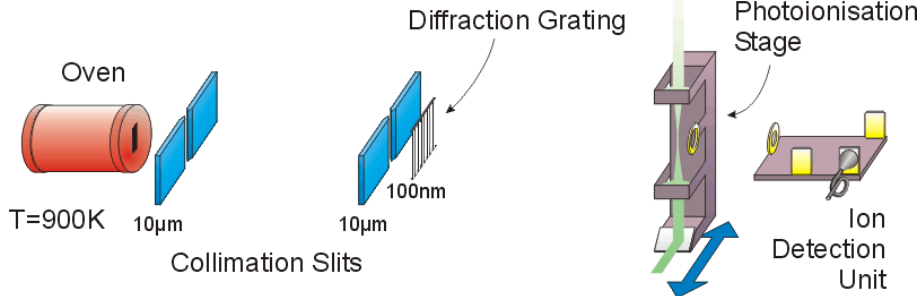
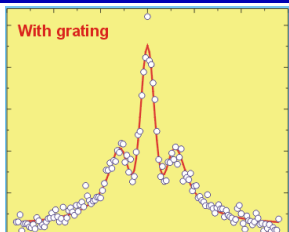
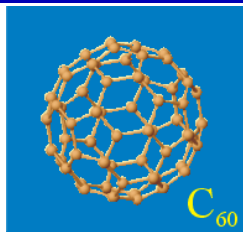
Что можно проверить

Спонтанная редукция. Где-то между микро- и макро-, находится мезо-уровень, где, по каким-то неизвестным причинам, происходит редукция. “Ниже” этого уровня мир квантовый, выше — классический.

Многомировая интерпретация. Никакой редукции не происходит. Весь мир квантовый.



Интерференция фуллеренов



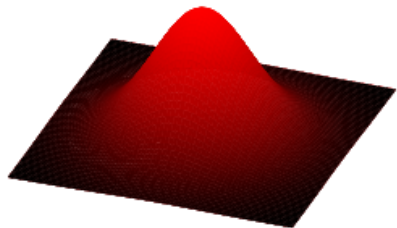
www.univie.ac.at/qfp/research/matterwave/c60/

Общая идея эксперимента

- Приготовить механический объект в ИСТИННО неклассическом состоянии.
- Подождать некоторое время.
- Проверить, используя квантовую томографию, сохранилось ли состояние или спонтанная редукция испортила его.

Проблема гауссовости

Найдите хоть одно отличие:

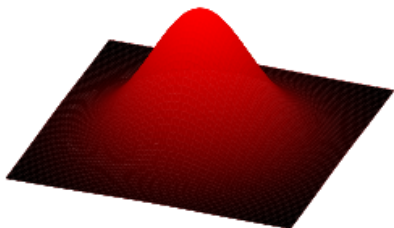


$$W_0 \exp\left(-\frac{p^2/m + kx^2}{\hbar\omega_0}\right)$$

Равновесное состояние

классического

осциллятора с $T = \hbar\omega_0/2$



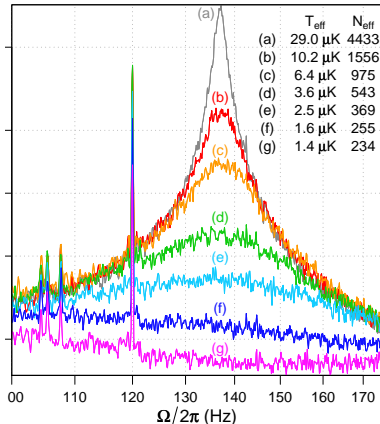
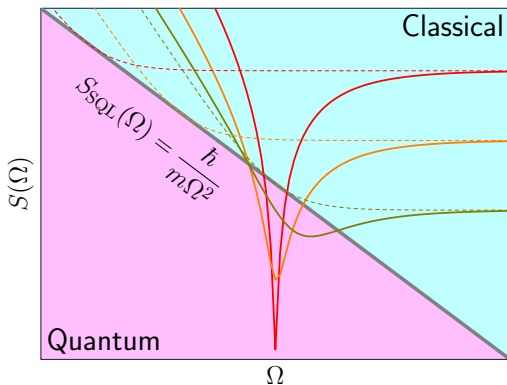
$$W_0 \exp\left(-\frac{p^2/m + kx^2}{\hbar\omega_0}\right)$$

Нулевое состояние

квантового

осциллятора

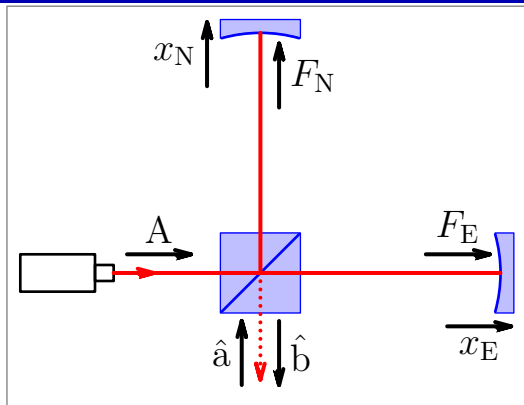
Проблема гауссовости



Преодоление СКП и достижение нулевого состояния будут огромными достижениями для прецизионных измерений — но не доказательствами квантовости макрообъектов.

- 1 Краткое введение в многомировую интерпретацию
- 2 Как насчет экспериментальной проверки?
- 3 Приготовление негауссовского квантового состояния

Схема



Измеряется координата разностной моды:

$$\delta \hat{b} \propto A x_- = A(x_E - x_N)$$

Возмущается импульс этой моды:

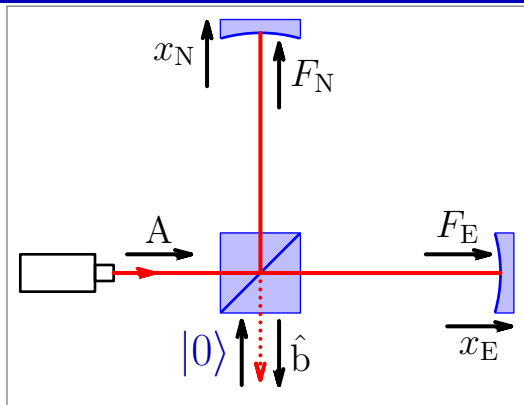
$$F_E \propto (A + \hat{a})^2$$

$$F_N \propto (A - \hat{a})^2$$

$$F_- = F_E - F_N \propto A \hat{a}$$

Величины ошибки измерения и возмущения определяются классической накачкой A . Их форма определяется квантовым полем \hat{a} .

Схема



Измеряется координата разностной моды:

$$\delta \hat{b} \propto A x_- = A(x_E - x_N)$$

Возмущается импульс этой моды:

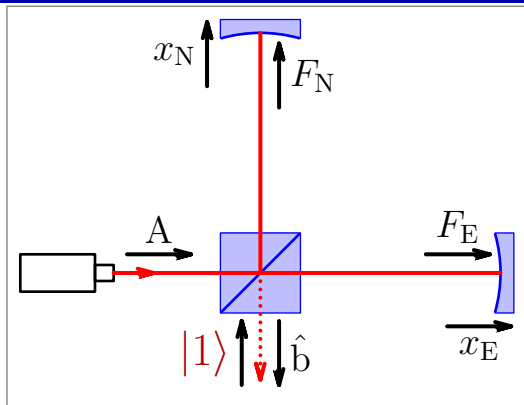
$$F_E \propto (A + \hat{a})^2$$

$$F_N \propto (A - \hat{a})^2$$

$$F_- = F_E - F_N \propto A \hat{a}$$

Гауссовское состояние на входе: $|0\rangle$ дает гауссовское состояние механической системы — масштабированное множителем A !

Схема



Измеряется координата разностной моды:

$$\delta \hat{b} \propto A x_- = A(x_E - x_N)$$

Возмущается импульс этой моды:

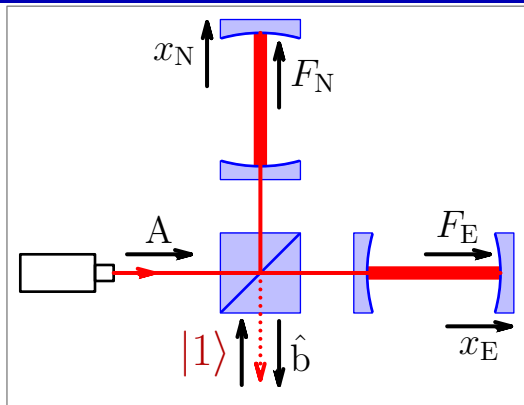
$$F_E \propto (A + \hat{a})^2$$

$$F_N \propto (A - \hat{a})^2$$

$$F_- = F_E - F_N \propto A \hat{a}$$

Негауссовское состояние на входе: $|1\rangle$ дает негауссовское состояние механической системы — тоже масштабированное множителем A !

Схема



Резонаторы в плечах увеличивают оптико-механическое взаимодействие (как в гравитационных детекторах)

Негауссовское состояние на входе: $|1\rangle$ дает негауссовское состояние механической системы — тоже масштабированное множителем A !

Процедура

- Механическая степень свободы готовится в гауссовском состоянии с хорошо определенным импульсом:

$$W(x, p) = \frac{\exp \left[-\frac{x^2}{2(\Delta x_{\text{init}})^2} - \frac{p^2}{2(\Delta p_{\text{init}})^2} \right]}{2\pi \Delta x_{\text{init}} \Delta p_{\text{init}}}$$

Процедура

- Механическая степень свободы готовится в гауссовском состоянии с хорошо определенным импульсом:

$$W(x, p) = \frac{\exp \left[-\frac{x^2}{2(\Delta x_{\text{init}})^2} - \frac{p^2}{2(\Delta p_{\text{init}})^2} \right]}{2\pi \Delta x_{\text{init}} \Delta p_{\text{init}}}$$

- В темный порт интерферометра инжектируется одиночный квант. Распределение вероятности для p становится негауссовским.

Процедура

- Механическая степень свободы готовится в гауссовском состоянии с хорошо определенным импульсом:

$$W(x, p) = \frac{\exp \left[-\frac{x^2}{2(\Delta x_{\text{init}})^2} - \frac{p^2}{2(\Delta p_{\text{init}})^2} \right]}{2\pi \Delta x_{\text{init}} \Delta p_{\text{init}}}$$

- В темный порт интерферометра инжектируется одиночный квант. Распределение вероятности для p становится негауссовским.
- Регистрируется фазовая квадратура выходящего света. Распределение вероятности для x также становится негауссовским.

Результат

$$W[x, p; y(t)] = W[y(t)] \times \left\{ \frac{(x - x_0)^2}{(\Delta x_{\text{meas}})^2} + \frac{(\Delta p_{\text{pert}})^2}{(\Delta p_{\text{fin}})^2} \left[\frac{p^2}{(\Delta p_{\text{fin}})^2} - 1 \right] \right\} \times \exp \left\{ -\frac{(x - x_0)^2}{2(\Delta x_{\text{meas}})^2} - \frac{p^2}{2(\Delta p_{\text{fin}})^2} \right\}$$

$$(\Delta p_{\text{fin}})^2 = (\Delta p_{\text{init}})^2 + (\Delta p_{\text{pert}})^2,$$

$$(\Delta x_{\text{meas}})^2 = \frac{1}{2k^2\tau}, \quad (\Delta p_{\text{pert}})^2 = \frac{\hbar^2 k^2 \tau}{2},$$

$$k = \frac{2\omega_o}{L} \sqrt{\frac{n_{\text{pump}}}{\gamma}}$$

Результат

$$W[x, p; y(t)] = W[y(t)] \times \left\{ \frac{(x - x_0)^2}{(\Delta x_{\text{meas}})^2} + \frac{(\Delta p_{\text{pert}})^2}{(\Delta p_{\text{fin}})^2} \left[\frac{p^2}{(\Delta p_{\text{fin}})^2} - 1 \right] \right\} \times \exp \left\{ -\frac{(x - x_0)^2}{2(\Delta x_{\text{meas}})^2} - \frac{p^2}{2(\Delta p_{\text{fin}})^2} \right\}$$

Для сравнения - одноквантовое состояние:

$$W_1(x, p) = \frac{1}{2\pi\hbar} \left[\frac{x^2}{(\Delta x)^2} + \frac{p^2}{(\Delta p)^2} - 1 \right] \times \exp \left[-\frac{x^2}{2(\Delta x)^2} - \frac{p^2}{2(\Delta p)^2} \right]$$

$$\left(\Delta x = \sqrt{\frac{\hbar}{2\rho}}, \quad \Delta p = \sqrt{\frac{\hbar\rho}{2}} \right).$$

Результат

